

## ความซูกและลักษณะของไซโภมาติกแอร์เซลล์ดีเฟก ในประชากรไทยกลุ่มหนึ่ง

วิภาพ สุทธิประภากรณ์

อาจารย์ ภาควิชาเวนิจัชัยโรคช่องปาก  
คณะทันตแพทยศาสตร์ มหาวิทยาลัยขอนแก่น  
พรพ. รัตนอาภา  
อาจารย์ ภาควิชาเวนิจัชัยโรคช่องปาก  
คณะทันตแพทยศาสตร์ มหาวิทยาลัยขอนแก่น

ติดต่อเกี่ยวกับบทความ:

อ.พ.ดร. วิภาพ สุทธิประภากรณ์  
ภาควิชาเวนิจัชัยโรคช่องปาก  
คณะทันตแพทยศาสตร์ มหาวิทยาลัยขอนแก่น  
อ.เมือง จ.ขอนแก่น 40002  
โทรศัพท์: 043-202405 ต่อ 11154  
โทรสาร: 043-202862  
อีเมล: spipop@kku.ac.th

แหล่งเงินทุน:

กองทุนวิจัยคณะทันตแพทยศาสตร์ มหาวิทยาลัยขอนแก่น

### บทคัดย่อ

การศึกษานี้วัดถูประสงค์เพื่อประเมินความซูกและลักษณะของไซโภมาติกแอร์เซลล์ดีเฟกในประชากรไทยกลุ่มหนึ่งในภาพรังสีพานอรามิก โดยภาพรังสีพานอรามิกจำนวน 838 ภาพ ถูกค้นและแปลผลภาพเพื่อดูการกระจายของเพศ อายุ ตำแหน่ง และลักษณะของไซโภมาติกแอร์เซลล์ดีเฟกซึ่งแบ่งเป็นลักษณะเดียวและหลายเซลล์ และข้อมูลทั้งหมดถูกวิเคราะห์ด้วยสถิติแบบพรรณนา ผลการศึกษาพบว่าไซโภมาติกแอร์เซลล์ดีเฟกถูกพบในภาพรังสีพานอรามิกร้อยละ 2.3 (19 ราย) โดยมีอายุเฉลี่ย  $29.5 \pm 14.5$  ปี ประกอบด้วย เพศชาย 8 ราย และหญิง 11 ราย โดยในกลุ่มที่พบไซโภมาติกแอร์เซลล์ดีเฟกทั้งตำแหน่ง ข่ายและขามี 7 ราย ประกอบด้วยลักษณะเดียว 2 ราย และลักษณะหลายเซลล์ 5 ราย ในกลุ่มที่พบไซโภมาติกแอร์เซลล์ดีเฟกเพียงข้างเดียวข้างหนึ่งมี 12 ราย ประกอบด้วยลักษณะเดียว 5 ราย และลักษณะหลายเซลล์ 7 ราย โดยบริเวณที่พบทั้งหมดในการศึกษานี้อยู่ในตำแหน่งที่ไม่เกินไปทางด้านหน้าของรอยต่อกระดูกไซโภมาและกระดูกมัป จากการศึกษา นี้สรุปได้ว่า ความซูกของไซโภมาติกแอร์เซลล์ดีเฟกในกลุ่มประชากรไทยกลุ่มหนึ่งสามารถพบร้าได้ใกล้เคียงกับรายงานที่ผ่านมาโดยพบเป็นข้างเดียวและมีลักษณะหลายเซลล์มากที่สุด

### บทนำ

ไซโภมาติกแอร์เซลล์ดีเฟก (zygomatic air cell defect) คือส่วนยื่นของโพรงอากาศ บางส่วนที่ออกมาระหว่างส่วนที่อยู่ในกระดูกท้องภาพรังสีพานอรามิก โดยลักษณะทางภาพรังสีที่พบได้คือ เก่ามากลม ขอบเขตชัดเจน อาจจะเป็นตำแหน่งเดียวหรือหลาย ๆ ตำแหน่งในสันกระดูกไซโภมา (zygomatic arch) ไปจนถึงบริเวณอาร์ติคูลาร์อีมิเนนซ์ (articular eminence) ไม่พบมีการขยาย หรือทำลายกระดูกข้างเดียว ไซโภมาติกแอร์เซลล์ดีเฟกนี้คือแอร์เซลล์หรือช่องว่างที่เกิดขึ้นในกระดูกไซโภมาและอาร์ติคูลาร์อีมิเนนซ์ ซึ่งบางครั้งจะใช้ในชื่อที่เป็นผลมาจากการที่มีการยื่นย้อยในอาร์ติคูลาร์อีมิเนนซ์ของกระดูกมัป (pneumatized articular eminence of temporal bone; PAT) หรือที่รู้จักกันว่าการยื่นย้อยของแมสตอยด์แอร์เซลล์ในอาร์ติคูลาร์อีมิเนนซ์ นอกจากนี้ ภาพรังสีอื่น ๆ ที่ใช้บ่อยในงานทางทันตกรรมอันได้แก่ ท่า沃เตอร์ส (Waters view) ท่าทาวน์ (Towne view) ท่าซับเมโนไดเรกซ์ (Submentovertex view) และท่าทราโนสเครเนียล (Transcranial view) ไม่สามารถที่จะมองเห็นส่วนทางด้านหลังของสันกระดูกไซโภมาเพื่อที่จะใช้ดูไซโภมาติกแอร์เซลล์ดีเฟกนี้<sup>2,3</sup> Tyndall and Matteson ในปี พ.ศ.2528<sup>2</sup> แสดงให้เห็นถึง

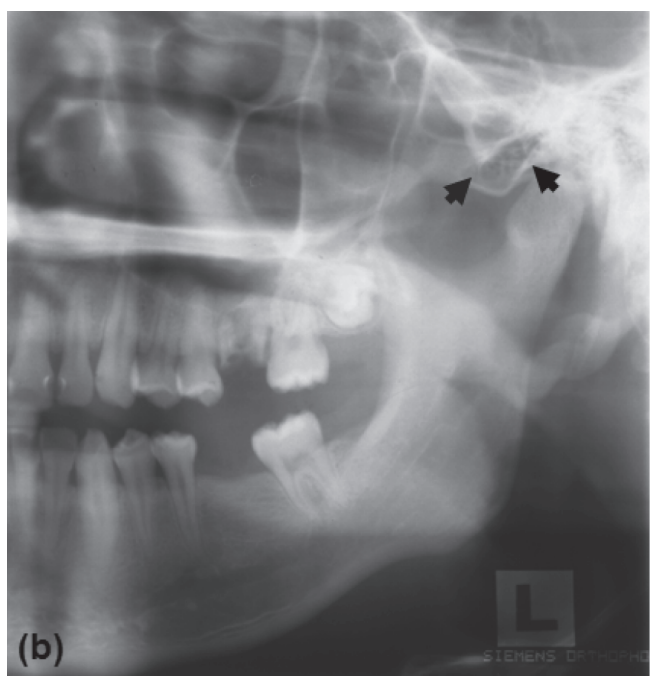
ความชุกของไซโภมาติกแอร์เซลล์ดีเฟค ร้อยละ 2.6 (28 ราย) จากภาพรังสีพานอรามิก 1,061 ภาพ Kaugars และคณะในปี พ.ศ.2529 พบความชุกอยู่ที่ร้อยละ 1.0 (8 ราย) จากภาพรังสีพานอรามิก 784 ภาพ<sup>4</sup> ส่วน Cater และคณะในปี พ.ศ.2542 พบไซโภมาติกแอร์เซลล์ดีเฟค ร้อยละ 1.5 (40 ราย) จากภาพรังสีพานอรามิก 2,734 ภาพ<sup>5</sup> Park และคณะในปี พ.ศ.2545 พบความชุกอยู่ที่ร้อยละ 2.2 (31 ราย) จากภาพรังสีพานอรามิก 1,400 ภาพ<sup>6</sup> และมีบางรายงานกล่าวถึงเหตุที่จะต้องดูแต่งແเพลเพิมเติม กรณีที่พบการหัวแมงของไซโภมาติกแอร์เซลล์นี้ภายหลังการผ่าตัดในส่วนของอาวัติคุณารិม-เนนซ์ ซึ่งหากทันแพทย์ตรวจพบโดยบังเอิญอาจจะทำให้เกิดการวินิจฉัยแยกโรคที่ผิดพลาดได้ การศึกษาถึงความชุกของกาย-วิภาคดังกล่าวยังไม่เคยมีรายงานในกลุ่มประชากรไทย ดังนั้น วัตถุประสงค์ของการศึกษานี้เพื่อประเมินความชุกและลักษณะของไซโภมาติกแอร์เซลล์ดีเฟคจากภาพถ่ายรังสีพานอรามิกในประชากรไทยกลุ่มนี้

### วัสดุอุปกรณ์และวิธีการ

ข้อมูลภาพรังสีพานอรามิกเก็บรวบรวมจากคลินิกทันตรังสีคณะทันตแพทยศาสตร์ มหาวิทยาลัยขอนแก่น ซึ่งจะถูกทำลายในช่วงระยะเวลาปี พ.ศ.2533-2541 จำนวน 899 ภาพ โดยภาพรังสีพานอรามิกที่อ่อนและแบล็คแอลฟาร์มไม่ได้จะถูกคัดออกจำนวน 61 ภาพ เนื่องจากภาพรังสีเป็นฝ้า มีสีน้ำตาล และไม่ทราบอายุของผู้ป่วย ดังนั้นคงเหลือจำนวนฟิล์มที่ศึกษาทั้งสิ้น 838 ภาพ โดยการศึกษาข้อมูลประกอบด้วย เพศ อายุ ลักษณะของไซโภมาติกแอร์เซลล์ดีเฟคบริเวณสันกรดูกไซโภมาและอาวัติคุณารិม-เนนซ์ ซึ่งแบ่งเป็นลักษณะเดี่ยวและหลายเซลล์ (รูปที่ 1) รวมถึงตำแหน่งที่พบทางด้านซ้ายและขวาจะถูกจำแนกโดยรังสีทันตแพทย์หนึ่งคน ซึ่งมีประสบการณ์การอ่านแบล็คแอลฟาร์ม 9 ปี ภาพรังสีจะถูกอ่านและแบล็คแอลฟาร์มในบริเวณที่มีดีแลดไม่มีเสียงรอบกวนบนอุปกรณ์อ่านฟิล์ม (viewing box; Magni viewerIII, Prorex, Tokyo, Japan) นำข้อมูลที่ได้มาวิเคราะห์ทางสถิติแบบพรรณนาด้วยโปรแกรมสำเร็จรูป (Microsoft office excel, 2003) เพื่อดูการกระจายของเพศ อายุ ตำแหน่งและลักษณะของไซโภมาติกแอร์เซลล์ดีเฟค การศึกษาได้ผ่านการรับรองจากคณะกรรมการจัดการวิจัยในมนุษย์มหาวิทยาลัยขอนแก่น โดยยึดหลักเกณฑ์ตามคำประกาศเยลซิงกิ (Declaration of Helsinki) และแนวทางการปฏิบัติการวิจัยทางคลินิกที่ดี (ICH GCP)



(a)



รูปที่ 1 ภาพตัดพานอรามิกแสดงให้เห็นลักษณะเฉพาะของไซโภมาติกแอร์เซลล์ดีเฟค : (a) ลักษณะเดี่ยว (b) ลักษณะหลายเซลล์

**Fig. 1** Cropped panoramic radiographs showed typical appearance of zygomatic air cell defect: (a) Unilocular type, (b) Multilocular type

## ผล

ไซโภมาติกแคร์เซลล์ดีเฟคถูกพบในภาพรังสีพานอรามิก ร้อยละ 2.3 (19 ราย) โดยมีอายุเฉลี่ย  $29.5 \pm 14.5$  ปี ประกอบด้วย เพศชาย 8 ราย และหญิง 11 ราย โดยในกลุ่มที่พบไซโภมาติก-แคร์เซลล์ดีเฟคทั้งตำแหน่งซ้ายและขวา มี 7 ราย ประกอบด้วย

ตารางที่ 5 ค่าร้อยละของเด็กที่มีฟันผุและค่าความเสี่ยงสัมพันธ์

Table 5 Percentage of children with caries and relative risk

Age	Sex	Unilateral				Bilateral	
		Right		Left		Right and Left	
		Unilocular	Multilocular	Unilocular	Multilocular	Unilocular	Multilocular
< 15 y	M	1	1				1
	F						
15-44 y	M	1	1			1	1
	F		3		2	1	3
≥ 45 y	M	1		1			
	F	1					

ลักษณะเดี่ยว 2 ราย และลักษณะหลายเซลล์ 5 ราย ในกลุ่มที่พบไซโภมาติกแคร์เซลล์ดีเฟคเพียงข้างใดข้างหนึ่ง มี 12 ราย ประกอบด้วยลักษณะเดี่ยว 5 ราย และลักษณะหลายเซลล์ 7 ราย โดยบริเวณที่พบทั้งหมดในการศึกษาเนื้อญูในตำแหน่งที่ไม่เกินไปทางด้านหน้าของร้อยต่อกระดูกไซโภมาและกระดูกมัป (temporal bone) (ตารางที่ 1)

## บทวิจารณ์

ไซโภมาติกแคร์เซลล์ดีเฟคเกิดจากเทกเมนทัลเซลล์ (Tegmental cells) ที่เรียงอยู่เหนือต่อแมสตอยด์แอนทรัม (mastoid antrum) ซึ่งอาจสามารถผ่านไปยังบวิเวณกระดูกมัปและขยายไปสู่สันกระดูกไซโภมาและอาร์ติคูลาอิมิเนนซ์ จากการศึกษานี้พบว่าภาพรังสีพานอรามิกเป็นเทคนิกที่ดีที่สามารถแสดงให้เห็นไซโภมาติกแคร์เซลล์ดีเฟคโดยพบอยู่ 19 ราย จากภาพรังสีทั้งหมด 838 ราย หรือคิดเป็นร้อยละ 2.3 โดยพบในเพศหญิงมากกว่าเพศชาย ซึ่งมีค่าใกล้เคียงกับการศึกษาของ Tyndall และคณาน<sup>2</sup> การศึกษาที่ผ่านมาพบไซโภมาติกแคร์เซลล์ดีเฟคในกลุ่มอายุที่มากกว่า 15 ปี โดยเชื่อว่าการเคลื่อนของแคร์เซลล์จะเกิดหลังซ่วงวัยรุ่นและจะมีการเพิ่มน้ำหนามีเวลาผ่านไปเพื่อคงกับแมสตอยด์แคร์เซลล์

อย่างไรก็ตาม การศึกษาของ Park และคณะ สามารถพบไซโภมาติกแคร์เซลล์ดีเฟคในเด็กกลุ่มอายุ 9 ปี สำหรับในรายงานฉบับนี้พบไซโภมาติกแคร์เซลล์ดีเฟคในผู้ป่วยอายุน้อยกว่า 15 ปี 3 ราย โดยหนึ่งรายสามารถพบได้ในเด็กชายอายุ 7 ปี (รูปที่ 2) ทำให้เชื่อว่าไซโภมาติกแคร์เซลล์ดีเฟคสามารถพบได้ก่อนหรือระหว่างเข้าสู่ช่วงวัยรุ่น และอาจเกิดขึ้นเองในตำแหน่งที่พบโดยไม่ได้เกิดจาก การเคลื่อนของแคร์เซลล์จากเทกเมนทัลเซลล์ มีรายงานผู้ป่วย



รูปที่ 2 ไซโภมาติกแคร์เซลล์ดีเฟคในเด็กชายอายุ 7 ปี

Fig. 2 The zygomatic air cell defect of a 7-year-old male

หลักรายตราชพบไซโภมาติกแคร์เซลล์ดีเฟค นี้โดยบังเอิญในกลุ่มวัยรุ่นทั้งนี้อาจเนื่องมาจากผู้ป่วยมารับการถ่ายภาพรังสีด้วยสาเหตุพัฒนาระบบที่สามคุดและปัญหาของข้อต่อข้ากรไร้ร่องมักตรวจพบในกลุ่มวัยรุ่น<sup>9,10,11,12</sup> เช่นเดียวกับการศึกษานี้ที่พบว่าภาพพานอรวมิกที่ศึกษาในคณะแพทยศาสตร์ มหาวิทยาลัยขอนแก่น เป็นกลุ่มวัยรุ่นมากที่สุด อย่างไรก็ตาม ไซโภมาติกแคร์เซลล์ดีเฟคในการศึกษานี้สามารถพบได้ตั้งแต่อายุ 7-66 ปี และมีค่าความซุกที่ต่ำ เช่นเดียวกับรายงานที่ผ่านมา Groell และ Fleischmann ในปี พ.ศ.2542<sup>13</sup> ได้ศึกษาในผู้ป่วย 100 ราย บริเวณฐานกะโหลกศีรษะ และข้อต่อข้ากรไร้ร่องมีพาร์ไซโภมาติกแคร์เซลล์ดีเฟค มีการขยายมาซิดกับข้อต่อข้ากรไร้ร่องบีเวนส่วนบนของกลีนอยด์-ฟอสซ่า (glenoid fossa) ถึงร้อยละ 51.0 อาการคุลาร์อิมิเนนซ์ถึงร้อยละ 12.0 และขยายไปถึงสันกระดูกไซโภมาติร้อยละ 5.0 ซึ่งมากกว่าการพบในภาพรังสีพานอรวมิก ทั้งนี้อาจเนื่องจากภาพรังสีพานอรวมิกมีการซ้อนทับกันของข้อต่อข้ากรไร้ร่องและกลีนอยด์-ฟอสซ่า ซึ่งอาจทำให้มีการบังทับในส่วนของไซโภมาติกแคร์เซลล์ดีเฟคในตำแหน่งนี้ รวมถึงหากไซโภมาติกแคร์เซลล์ดีเฟคไม่ขนาดเล็กในอาการคุลาร์อิมิเนนซ์ จะไม่สามารถเห็นในภาพรังสีพานอรวมิก ได้เมื่อเปรียบเทียบกับภาพพืชที่สามารถตัดข่าวงในความหนาของกายวิภาคที่บางกว่า อย่างไรก็ได้ ลิ่งที่เหมือนกันคือ ไซโภมาติกแคร์เซลล์ดีเฟคที่พบทั้งหมดในภาพพืชที่อยู่ในตำแหน่งที่ไม่เกินไปทางด้านหน้าของรอยต่อกระดูกไซโภมาและขั้นตอนเดียวกับในภาพรังสีพานอรวมิก Kaugars และคณะ และ Carter และคณะ<sup>4,5</sup> ไม่ได้จัดกลุ่มเพื่อจำแนกลักษณะของไซโภมาติกแคร์เซลล์ดีเฟคตามที่ Tyndal และ Matteson<sup>3</sup> ได้แบ่งไว้ซึ่งประกอบด้วย ลักษณะเดียวกับไซโภมาติกแคร์เซลล์ และลักษณะเดียวกับไซโภมาติกแคร์เซลล์ดีเฟคเป็น 2 กลุ่มคือ ลักษณะเดียวกับไซโภมาติกแคร์เซลล์ และลักษณะเดียวกับไซโภมาติกแคร์เซลล์ ซึ่งหมายถึง ลักษณะเดียวกับไซโภมาติกแคร์เซลล์ ที่มีลักษณะคล้ายและขับเขตขัดเจน และลักษณะคล้ายไซโภมาติกแคร์เซลล์ ซึ่งหมายถึง ลักษณะของเล็ก ๆ หลาย ๆ ซึ่งแสดงถึงลักษณะแบบเสี้ยนไนกระดูก คือลักษณะหลาย ๆ เซลล์แบบหนึ่ง รูปร่างของไซโภมาติกแคร์เซลล์ดีเฟค สามารถนำไปวินิจฉัยโดยเบรียบเทียบกับลักษณะรูปร่างของแมสตอยด์-แคร์เซลล์ที่อยู่ดัดแปลงด้านหลังต่ออุ้งส่วนนอก (external auditory meatus) ซึ่งจะมีลักษณะคล้ายคลึงกัน การจัดแบ่งเป็นสองกลุ่มนี้ ทำให้ทราบว่าลักษณะหลายไซโภมาติกแคร์เซลล์ (ร้อยละ 63.2) จะพบในกลุ่มประชากรไทยได้มากกว่าลักษณะเดียว (ร้อยละ 36.8) ซึ่งตรงข้ามกับการศึกษาในประเทศไทยที่ซึ่งพบลักษณะเดียว (ร้อยละ 68.4)

มากกว่าลักษณะหลายไซโภมาติกแคร์เซลล์ (ร้อยละ 31.6)<sup>6</sup> อย่างไรก็ได้ สิ่งที่เหมือนกันของทั้งสองการศึกษาคือ ไซโภมาติกแคร์เซลล์ดีเฟคจะถูกพบเพียงข้างใดข้างหนึ่งมากกว่าพบทั้งสองข้าง การวินิจฉัยแยกไซโภมาติกแคร์เซลล์ดีเฟคออกจากโรคอื่น ๆ ได้แก่ อิโอดิโนฟิลิกแกรนูลومา (Eosinophilic granuloma) โดยจะพบลักษณะเวลาดำเนินกระบวนการกระดูกขับในภาพรังสีกะโหลกศีรษะ ผู้ป่วยมักจะมีการอักเสบของหูส่วนกลาง (otitis media) ร่วมด้วยและสูญเสียการได้ยินในบางราย<sup>14</sup> Kulikowski และคณะ<sup>7</sup> ยังได้กล่าวถึงประไบช์ของกายวิภาคดังกล่าวสำหรับการวางแผนผ่าตัดอาการคุลาร์อิมิเนนซ์ เพื่อให้เกิดความระมัดระวังไม่ให้เกิดการแทรกระยะของเชื้อเข้าสู่กะโหลกศีรษะหรือเกิดอาการตกเลือด

ข้อจำกัดอันดับแรกคือ การศึกษานี้เป็นการศึกษาในช่วงเวลาเดิมเท่านั้น ทำให้ไม่สามารถประเมินการเปลี่ยนแปลงขนาดที่เกิดขึ้นของไซโภมาติกแคร์เซลล์ดีเฟคได้ จึงไม่ทราบถึงช่วงระยะเวลาที่เริ่มมีการเห็นไซโภมาติกแคร์เซลล์ดีเฟคบริเวณกระดูกไซโภมาและอาการคุลาร์อิมิเนนซ์ อันดับสองคือ ช่วงระยะเวลาของฟิล์มที่ศึกษาในปี พ.ศ.2533-2541 เป็นฟิล์มที่จะถูกทำลายและไม่เกิดการเคลื่อนย้ายของฟิล์มไปยังภาควิชาอื่น ๆ จึงไม่ได้เป็นการศึกษาฟิล์มในผู้ป่วยปัจจุบัน อันดับสามคือ การศึกษานี้ไม่ได้ทำการวัดระดับความเที่ยงของผู้ประเมินที่ทำต่อเวลาแต่อาศัยเพียงประสบการณ์การแปลผลภาพรังสีของรังสีทันตแพทย์เท่านั้น

ปัจจุบันภาพรังสีโคนบีมซีที (cone beam CT) เริ่มเข้ามามีบทบาททางทันตกรรม รวมถึงสามารถถ่ายภาพให้ครอบคลุมถึงฐานกะโหลกศีรษะและข้อต่อข้ากรไร้ร่อง สามารถเปลี่ยนทีละภาพโดยเบรียบเทียบไซโภมาติกแคร์เซลล์ดีเฟคด้วยภาพโคนบีมซีทีอาจแสดงให้เห็นผลต่างจาก การศึกษานี้และใช้เป็นหลักพื้นฐานเพื่อศึกษาความสมมัติของกายวิภาคในบริเวณข้อต่อข้ากรไร้ร่อง ซึ่งควรจะทำการศึกษาวิจัยต่อไป

## บทสรุป

การศึกษานี้ช่วยให้ทันตแพทย์สามารถประเมินบริเวณสันกระดูกไซโภมาและอาการคุลาร์อิมิเนนซ์ และทราบถึงความซุกและลักษณะของไซโภมาติกแคร์เซลล์ดีเฟคที่สามารถตรวจพบในภาพรังสีพานอรวมิกในกลุ่มประชากรไทยโดยพบเป็นข้างเดียวและมีลักษณะหลายไซโภมาติกแคร์เซลล์มากที่สุด

## กิตติกรรมประกาศ

คณบดีวิจัยขอขอบคุณกองทุนวิจัยคณาจารย์ท่านตัวแทนศาสตร์มหาวิทยาลัยขอนแก่น ประจำปีงบประมาณ 2552 ที่ให้เงินสนับสนุนในการทำวิจัย

## เอกสารอ้างอิง

- White SC, Pharoah MJ, editors. *Oral Radiology* 5<sup>th</sup> ed., St. Louis: Mosby; 2004: p.540.
- Tyndall DA, Matteson SR. Radiographic appearance and population distribution of the pneumatized articular eminence of the temporal bone. *J Oral Maxillofac Surg* 1985;43:493-7.
- Tyndall DA, Matteson SR. The zygomatic air cell defect (ZACD) on panoramic radiographs. *Oral Surg Oral Med Oral Pathol* 1987;64:373-6.
- Kaugars GE, Mercuri LG, Laskin DM. Pneumatization of the articular eminence of the temporal bone: prevalence, development, and surgical treatment. *J Am Dent Assoc* 1986;113:55-7.
- Carter LC, Haller AD, Calamel AD, Pfaffenbach AC. Zygomatic air cell defect (ZACD). Prevalence and characteristics in a dental clinic outpatient population. *Dentomaxillofac Radiol* 1999;28:116-22.
- Park YH, Lee SK, Park BH, Son HS, Choi M, Choi KS, An CH. Radiographic evaluation of the zygomatic air cell defect. *Korean J Oral Maxillofac Radiol* 2002;32:207-212.
- Kulikowski BM, Schow SR, Kraut RA. Surgical management of a pneumatized articular eminence of the temporal bone. *J Oral Maxillofac Surg* 1982;40:311-3.
- Virapongse C, Sarwar M, Bhimani S, Sasaki C, Shapiro R. Computed tomography of temporal bone pneumatization: 1. Normal pattern and morphology. *AJR Am J Roentgenol* 1985;145:473-81.
- Roser SM, Rudin DE, Brady FA. Unusual bony lesion of the zygomatic arch. *J Oral Med* 1976;31:72-3.
- Yurosko JJ. Pneumatized articular eminence. *Oral Surg Oral Med Oral Pathol* 1985;60:346.
- Lindenmuth JE, Clark MS. Pneumatization of the articular eminence. *Cranio* 1986;4:86-7.
- Deluke DM. Pneumatization of the articular eminence of the temporal bone. *Oral Surg Oral Med Oral Pathol Oral Radiol Endod* 1995;79:3-4.
- Groell R, Fleischmann B. The pneumatic spaces of the temporal bone: relationship to the temporomandibular joint. *Dentomaxillofac Radiol* 1999;28:69-72.
- Hadjigeorgi C, Parpounas C, Zarmakoupi P, Lafogianni S. Eosinophilic granuloma of the temporal bone: radiological approach in the pediatric patient. *Pediatr Radiol* 1990;20: 546-9.

## Original Article

# Prevalence and Characteristics of Zygomatic Air Cell Defect in Thai Population

**Pipop Suttiprapaporn**

Lecturer

Department of Oral Diagnosis

Faculty of Dentistry, Khon Kaen University

**Porntip Ruttana-arpha**

Lecturer

Department of Oral Diagnosis

Faculty of Dentistry, Khon Kaen University

**Correspondence to:**

Dr. Pipop Suttiprapaporn

Department of Oral Diagnosis

Faculty of Dentistry,

Khon Kaen University

Khon Kaen 40002

Tel: 043-202405 ext. 11154

Fax: 043-202862

E-mail: spipop@kku.ac.th

## Abstract

The study's objective was to evaluate prevalence and characteristics of zygomatic air cell defect in Thai population on panoramic radiograph. The panoramic radiographs of 838 cases were examined for gender and age distribution, location and type of zygomatic air cell defect classified as unilocular and multilocular type. All data were analyzed by descriptive statistics. The results showed that zygomatic air cell defect was found on panoramic radiographs 2.3% (19 cases) with a mean age of  $29.5 \pm 14.5$  years. Eight cases occurred in male, while 11 cases occurred in female. In seven cases, the zygomatic air cell defect was bilateral which composed of unilocular 2 cases and multilocular 5 cases. Twelve cases were unilateral which composed of unilocular 5 cases and multilocular 7 cases. All zygomatic air cell defect on this finding were not beyond the zygomaticotemporal suture. In conclusion, the prevalence of zygomatic air cell defect in Thai population is similar to those of previous studies. The unilateral and multilocular types were found mostly.

**Key words:** panoramic radiograph; temporomandibular joint; zygomatic air cell defect